

- Strouhal Number of cylinder pair // Acta Technica ČSAV. – 1974. – No 5. – S. 581–588.* 4. Okajima, A. *Flows around Two Tandem Circular Cylinders at Very High Reynolds Numbers // Bulletin of the JSME. – April 1979. – Vol. 22. – No 166.* 5. Williamson C.H.K. *Evolution of a single wake behind a pair of bluff bodies // Journal of Fluid Mechanics. – 1985. – Vol. 159. – S. 1–18.* 6. Zdravkovich M.M. *Review of flow interference between two circular cylinders in various arrangements // ASME Transactions, Journal of Fluids Engineering. – 1977. – Vol. 99. – P. 618–631.* 7. Zdravkovich M.M. *The effects of interference between circular cylinders in cross flow // Journal of Fluids and Structures 1. – 1987. – P. 239–261.* 8. Графский И.Ю., Казакевич М.И. *Аэродинамика плохообтекаемых тел: Учеб. пособие. – Днепропетровск, 1983. – 116 с.* 9. Wojciechowski J., Żurański J. A., Kinasz R. *Badania liczby Strouhala wiązki walców kołowych // Materiały III Ogotnopolskie sympozjum “Wplywy srodowiskowe na budowle i ludzi – obciążena, oddziaływania, interakcje, dyskomfort”. – Lublin, 2001. – S. 55–62.* 10. Żurański J.A. *Wpływ interferencji aerodynamicznej na obciążenie wiatrem stalowych kominów wieloprzedowych // Prace Instytutu Techniki Budowlanej. – Kwartalnik, 2000. – N 2–3. – S. 37–64.* 11. Кінаш Р.І. Коваленко В.А., Копилов О.Є. *Аеродинамічні дослідження числа Струхаля для поодинокого циліндра круглого перерізу // Вісн. ДДАБА. – Макіївка, 2001. – Вип. 2001–1(26). – С. 110–115.* 12. Кінаш Р.І. Стасюк М.І., Копилов О.Є. *Аналіз аеродинамічних досліджень колових циліндрів // Вісн. ДДАБА. – Макіївка, 2001. – Вип. 2001–1(26). – С. 113–125.*

УДК 624.016

К.Ф. Клименко

Львівський державний аграрний університет

НЕСУЧА ЗДАТНІСТЬ РОЗТЯГНУТИХ ПОПЕРЕДНЬО НАПРУЖЕНИХ ТРУБОЗАЛІЗОБЕТОННИХ ЕЛЕМЕНТІВ*

© Клименко К.Ф., 2002

У розтягнутих трубозалізобетонних елементах, армованих різними за класом сталлями, в поєднанні високоміцної з м'якою сталлю труб (Ст-3) в процесі напруження за рахунок збільшення розрахункового опору сталі труби до і після границі текучості, а також при подальшому завантаженні за рахунок явища самозміцнення досягається збільшення міцності. Експериментальними випробуваннями встановлено, що при використанні такого конструктивного рішення і особливостей його роботи досягається значна економія сталі в конструкції.

Вступ

Конструктивно трубозалізобетон у поперечному перерізі являє собою сталеву оболонку труби, заповнену бетоном або цементним розчином, який, своєю чергою, армується звичайною або попередньо напруженою стрижневою чи іншою арматурою.

Бетон або високоміцний розчин в сталевій трубі має призначення сприймати значні сили попереднього напруження, забезпечувати сумісну роботу сталеві труби із звичайною

* Експериментальні дослідження виконані в 1979 році на кафедрі будівельних конструкцій Львівського політехнічного інституту

чи попередньо напруженою арматурою, а також підвищувати поздовжню стійкість трубо-залізобетонного елемента в цілому.

Одночасно бетон або цементний розчин є своєрідним антикорозійним захисником поздовжньої звичайної чи попередньо напруженої арматури, а також внутрішньої поверхні сталеві труби трубозалізобетонних елементів.

Якщо центрально стиснуті трубобетонні елементи, які входять в стрижневі системи, розглядаються в багатьох дослідних роботах і конструктивних рішеннях, то робота центрально розтягнутих трубозалізобетонних елементів, які є складовими елементами цих конструкцій, вивчалася одиничними дослідниками [1–4].

Вперше запропоновано конструктивне рішення трубозалізобетонних елементів, які можуть бути застосовані в стрижневих системах (кроквяних фермах, арках, рамах, структурних конструкціях тощо) і бути набагато економічно ефективнішими порівняно із трубобетонними [5].

В практиці будівництва конструкції трубозалізобетонних елементів, армованих звичайною та попередньо напруженою арматурою, ще не знайшли застосування, оскільки таке конструктивне рішення потребує експериментальної перевірки та економічного обґрунтування.

Експериментальні дослідження

Метою досліджень передбачалося:

- експериментально дослідити несучу здатність центрально розтягнутих трубозалізобетонних елементів, армованих як звичайною, так і попередньо напруженою арматурою;
- дати оцінку росту поздовжніх і поперечних деформацій під навантаженням в сталі труби, в арматурі, бетоні;
- розробити методику розрахунку центрально розтягнутих трубозалізобетонних елементів;
- встановити і обґрунтувати характер та основні принципи руйнування центрально розтягнутих трубозалізобетонних елементів.

Для досягнення поставленої мети та з'ясування роботи трубозалізобетонних елементів під навантаженням були виконані експериментальні дослідження спеціальних зразків.

Програмою було передбачено і досліджено 5 серій 19 трубозалізобетонних зразків.

Дослідження перших 3-х серій (дванадцять зразків) описано у [5].

У цій статті подаються дослідження IV серій – восьми попередньо напружених трубозалізобетонних зразків.

Усі дослідні трубозалізобетонні зразки мали сталеві труби із зовнішнім діаметром 87 мм, товщиною 5,0 мм і довжиною 500 мм. На рис. 1 показані конструкції зразків.

Перші три серії зразки мали на кінцях труби гвинтову нарізку, необхідну для закріплення її в захваті під час випробування на розтяг. IV і V серії зразків мали іншу конструкцію захвату і гвинтова нарізка сталеві труби не виконувалася. Оскільки поперечний переріз труби був ослаблений гвинтовою нарізкою, то для однакової міцності посередині, на ділянці 150 мм вона обточувалася до товщини 2,5–3 мм.

Сталева труба заповнювалася цементним бетоном і армувалася одним стрижнем класу А-III і А-IIIв. Діаметр стрижнів – 22, 25, 28, 32 мм. У кожному із чотирьох серій зразків входили зразки з однаковим діаметром стрижнів, тобто одного відсотка армування, крім п'ятої серії, причому у кожній серії два зразки були попередньо напружені, а два – звичайні ненапружені. Як виняток V серія складалася з трьох звичайних ненапружених зразків.

Деформації в дослідних зразках на арматурі-стрижні, яка знаходиться в бетоні оболонки-труби і поза нею, а також на поверхні стінки труби і на бетоні замірялися електротензодавачами. Для виготовлення дослідних зразків трубозалізобетонних елементів застосовувалися матеріали із фізико-механічними характеристиками, наведеними у табл. 1.

Випробування дослідних зразків усіх серій виконувалися на розривних машинах потужністю 50 та 100 т. Кожний ступінь навантаження становив 60 кН, що близько до 0,1 F руйнівної сили.

Для дослідження трубозалізобетонних зразків на розтяг застосовувалася розривна машина з захватами спеціальної конструктивної розробки.

Величина попереднього напруження для зразків армованих стрижнями класу А-Шв, становила $(0,37-0,44)R_{sn}$.

Для дослідження трубозалізобетонних зразків на розтяг застосовувалася розривна машина з захватами спеціальної конструкції.

Робота дослідних трубозалізобетонних зразків на розтяг під навантаженням може бути подана у вигляді трьох послідовних стадій.

На першій стадії дослідні зразки працюють як пружні. Цей період продовжується від початку навантаження дослідних зразки до виникнення текучості сталі у стінці труби.

Друга стадія охоплює пружно-пластичну роботу зразків і займає період від початку текучості сталі труби до початку умовної текучості сталі стрижня-арматури в бетоні труби.

Третя стадія характеризується пластичною роботою зразка, коли настає загальна текучість сталі як в стрижні-арматурі, так і як продовження пластичних деформацій сталі труби. Ця стадія приймається за граничний стан роботи трубозалізобетонного елемента при роботі на розтяг.

За фізичний стан руйнування приймається період досягнення сталлю стрижня-арматури межі міцності, що призводить спочатку до розриву стрижня-арматури, а потім стінки сталеві труби і в цілому руйнування зразка.

Результати випробувань дослідних попередньо напружених трубозалізобетонних зразків чотирьох серій в кількості 8 подані у табл. 2.

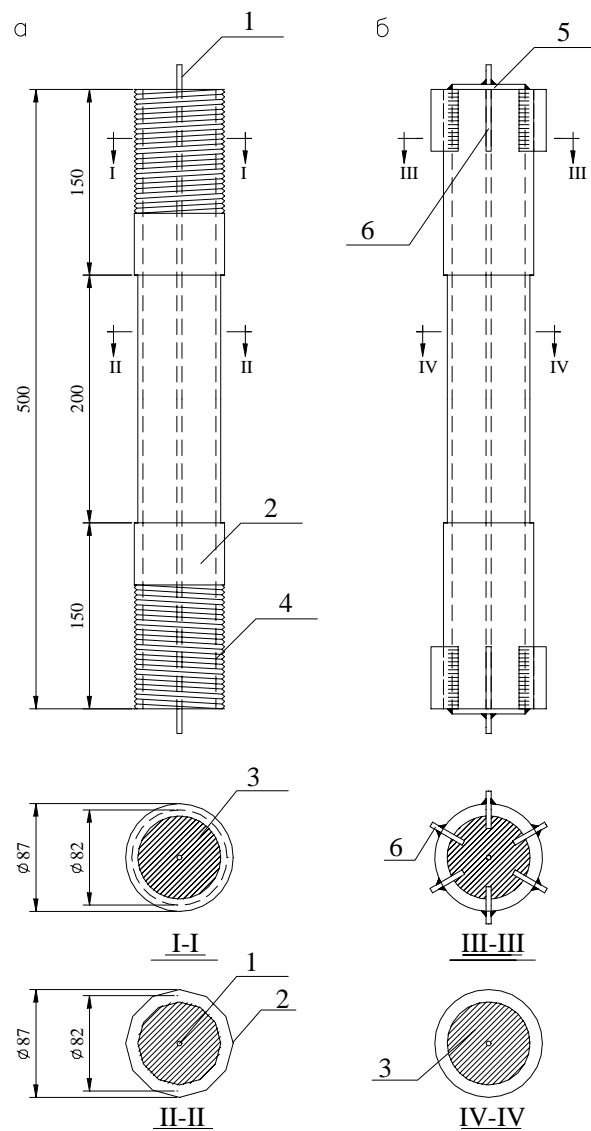


Рис. 1. Конструкції дослідних зразків:
 а – зразок з гвинтовою нарізкою на кінцях сталеві труби; б – зразок з ребрами на кінцях сталеві труби;
 1 – арматура; 2 – сталеві труба;
 3 – цементний бетон; 4 – зовнішня гвинтова нарізка на кінцях сталеві труби;
 5 – сталеві пластина; 6 – сталеві ребра

**Геометричні і механічні характеристики
попередньо напружених трубозалізобетонних зразків**

| Серія зразка | № зразка | Характеристика зразка | | | | | Характеристика стрижня | | | | | Цементний бетон | |
|--------------|----------|-----------------------|------------------|------------------------|-----------------------|------------------------|------------------------|------------------------|---|-----------------------|------------------------|------------------------|-----------------|
| | | Ø зовнішній, мм | Ø внутрішній, мм | Площа, см ² | R _{уп} , МПа | R _{упв} , МПа | Ø мм | Площа, см ² | Площа по гвинтовій нарізці, см ² | R _{уп} , МПа | R _{упв} , МПа | Площа, см ² | Міцність бетону |
| I | 1п | 87,0 | 82,0 | 6,4 | 2500 | 3820 | 28,0 | 5,76 | 3,80 | 6500 | 8925 | 45,9 | 392 |
| | 3п | 86,7 | 81,5 | 6,3 | | | | | | | | 45,6 | |
| II | 1п | 87,0 | 81,5 | 6,9 | 2500 | 3820 | 22,0 | 3,4 | 2,83 | 6600 | 8400 | 48,0 | 357 |
| | 4п | 87,0 | 81,0 | 7,9 | | | | | | | | 48,8 | |
| III | 1п | 87,0 | 81,6 | 6,8 | 2500 | 3820 | 25,0 | 4,5 | 3,14 | 6600 | 7860 | 47,3 | 289 |
| | 4п | 87,0 | 81,3 | 7,0 | | | | | | | | 47,2 | |
| IV | 1п | 87,0 | 82,0 | 6,4 | 2500 | 3820 | 32 | 7,64 | 4,52 | 6500 | 7200 | 44,5 | 305 |
| | 4п | 87,0 | 82,0 | 6,4 | | | | | | | | 44,5 | |

Таблиця 2

**Результати випробування попередньо напружених
трубозалізобетонних зразків**

| Серія зразка | № зразка | Попереднє напруження в стрижні-арматурі, МПа | Попереднє напруження в стрижні після передачі напруження на бетон, МПа | Напружен-ня попереднього обтиску труби, МПа | Напруження попереднього обтиску бетону, МПа | Руйнівальне навантаження | | |
|--------------|----------|--|--|---|---|----------------------------------|---------------------------------------|----------------------|
| | | | | | | Розрахункове N _p , кН | Експериментальне N _{ек} , кН | $\frac{N_{ек}}{N_p}$ |
| I | 1п | 408,0 | 292,0 | 9,4 | 10,2 | 758,8 | 412,0 | – |
| | 3п | 416,0 | 292,0 | 10,0 | 8,2 | 754,4 | 460,0 | – |
| II | 1п | 400,0 | 399,0 | 5,80 | 5,60 | 559,1 | 394,0 | – |
| | 4п | 422,0 | 340,0 | 6,40 | 6,00 | 587,3 | 548 | 1,04 |
| III | 1п | 324,0 | 172,0 | 6,0 | 7,20 | 613,6 | 590,0 | 1,04 |
| | 4п | 304,0 | 112,0 | 4,60 | 7,40 | 622,2 | 586,0 | 1,05 |
| IV | 1п | 290,0 | 144,0 | 6,0 | 5,20 | 764,0 | 622,0 | – |
| | 4п | 246,0 | 122,6 | 8,20 | 7,20 | 793,8 | 783,0 | 0,986 |

Примітки: 1. Зразки серії I № 1п, № 3п, серії II № 1п, серії IV № 1п зруйнувалися внаслідок зрізу гайки по різі стрижня, і після цього розірвалася сталевая труба.

2. Зразки серії II № 4п, серії III № 1п, № 4, серії IV № 4п зруйнувалися внаслідок розриву сталевої труби і стрижня одночасно.

Загальне уявлення про роботу попередньо напружених трубозалізобетонних зразків під навантаженням дає випробування зразка 4 серії IV (рис. 2).

Після передачі попереднього напруження стрижня на бетон-трубу в сталі труби виникли поздовжні стискаючі деформації, які дорівнюють – $\varepsilon = 50 \times 10^{-5}$, а в бетоні –

$\varepsilon = 30 \times 10^{-5}$. Величина деформацій попереднього напруження на початок навантаження в стрижні арматури зменшилась на $\varepsilon = 67 \times 10^{-5}$. Що стосується поперечних деформацій сталі труби, то під дією попереднього напруження в сталі труби виникли розтягуючі поперечні деформації $\varepsilon = 8 \times 10^{-5}$. Проте в процесі завантаження знак поперечних деформацій сталі труби змінився, вони росли пропорційно величині навантаження і при навантаженні $N = 650 \text{ кН}$ стискаючі поперечні деформації становили $\varepsilon = 42 \times 10^{-5}$.

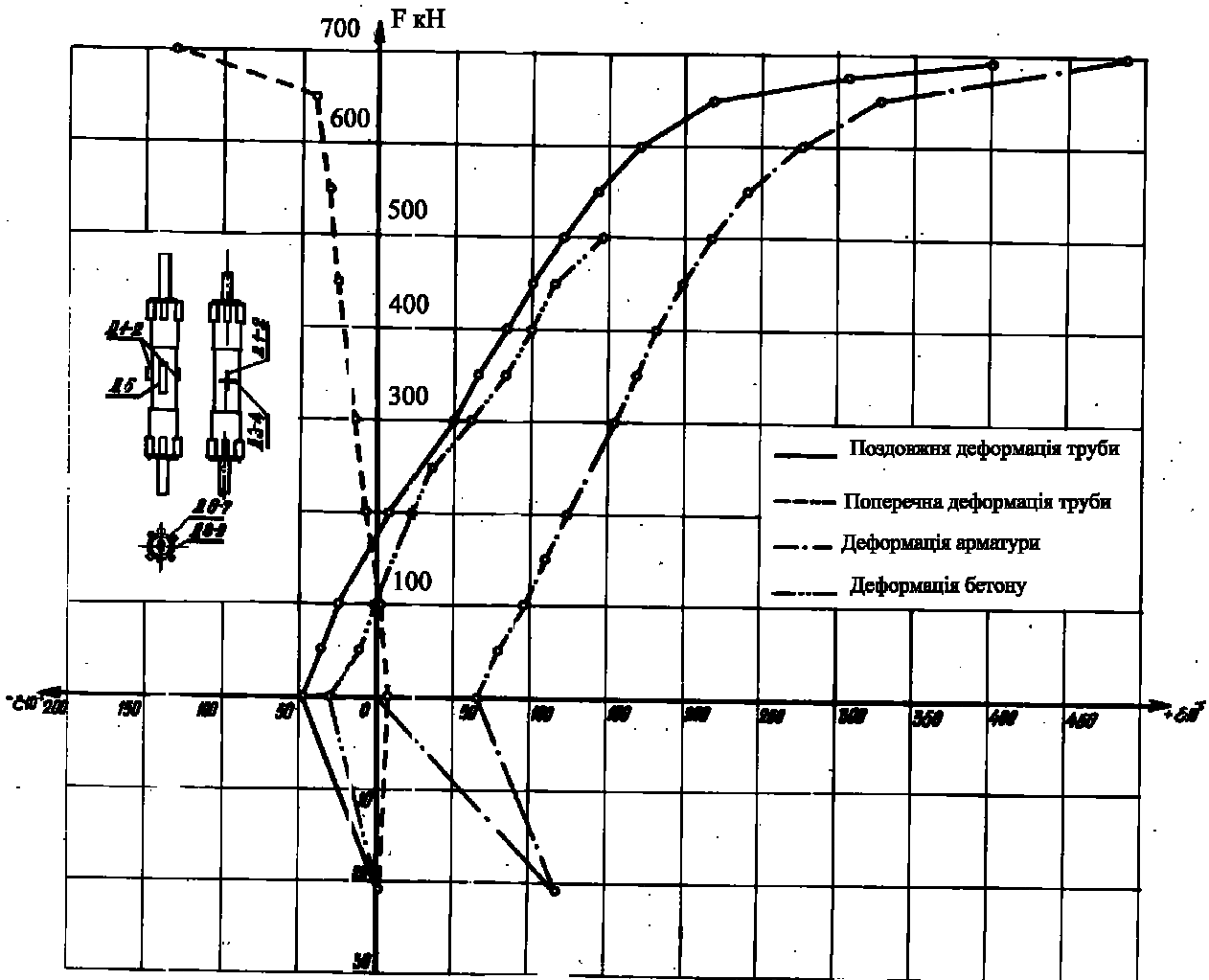


Рис. 2. Графік зростання деформацій в попередньо напруженому зразку 4 серії IV

Зростання поперечних деформацій сталі труби при навантаженні зразків позитивно вплинуло на збільшення деформацій розтягу бетону-розчину в обоймі труби. Так, в обоймі труби для цього зразка зафіксований підвищений розтяг деформації бетону, який при навантаженні $N_B = 500 \text{ кН}$ становив $\varepsilon = 150 \times 10^{-5}$.

Це позитивне явище, виявлене дослідженням, не впливає на величину граничного руйнівального навантаження, оскільки в цей час бетон-розчин повністю виключається із роботи. Особливість роботи бетону в обоймі труби попередньо напружених трубобетонних зразків впливає на роботу поперечного перерізу в стадії експлуатації та істотно позначається на зменшенні всіх втрат попереднього напруження. Так, для попереднього напруження дослідних зразків I, II, IV серій втрати напруження в арматурі внаслідок усадження та плинності бетону через 1,5 місяця після передачі натягу стрижня-арматури на бетон-трубу становили у вигляді

деформацій $\varepsilon^{\text{II}} = 20 - 22 \times 10^{-5}$. Ці втрати попереднього напруження значно менші, ніж у попередньо напружених залізобетонних конструкціях.

Зменшення втрат попереднього напруження в конструкціях має істотне значення для повнішого використання властивостей міцності високоміцних сталей. У цьому випадку робота бетону в обіймі труби – один із способів зменшення втрат попереднього напруження і підвищення деформативних властивостей бетону при розтягу.

Як видно із графіка рис. 2 при навантаженні силою розтягу попередньо напруженого зразка 4 серії IV спочатку в сталі труби вибираються деформації стиску, а далі графік розтягу має вигляд прямолінійної кривої до навантаження $N_B = 500$ кН, яке викликає деформації сталі труби, що дорівнюють $\varepsilon = 120 \times 10^{-5}$. Ці деформації сталі труби відповідають межі текучості сталі труби.

Що стосується сталі стрижня-арматури, то крива графіка деформацій при цьому навантаженні має також прямолінійний характер і йде паралельно з кривою сталі труби. Деформації розтягу сталі стрижня-арматури з урахуванням деформацій попереднього натягу становлять $\varepsilon = 220 \times 10^{-5}$.

Починаючи з навантаження $N_B = 550$ кН, зростання деформації сталі труби і стрижня значно зростають, а крива графіка деформацій наближається в проміжку навантаження 600–700 кН до пологої кривої. При цьому навантаженні $N_B = 670$ кН деформації сталі стрижня-арматури становили $\varepsilon = 400 \times 10^{-5}$, що відповідає напруженням $\sigma = 840$ МПа, а стрижень-арматура зразка, маючи площу поперечного перерізу $A_{\text{ст}} = 4,52$ см², сприймає навантаження $N_{\text{СТ}} = 379,7$ кН. Навантаження, яке сприймає сталь труби зразка, становить $N_{\text{ТР}} = 670 - 379,9 = 290,3$ кН, що відповідає напруженням $\sigma_{\text{тр}} = 453,6$ МПа при поперечному перерізі труби $A_{\text{ТР}} = 6,4$ см².

Аналіз роботи попередньо напруженого трубозалізобетонного елемента, в якому одночасно сприймають навантаження різні за класом сталі, в поперечному перерізі свідчить про те, що при досягненні високоміцною сталлю межі міцності звичайна м'яка сталь труби здатна нести за рахунок зміцнення за межею текучості додаткові напруження.

Міцність трубозалізобетонного зразка визначається за рівнянням

$$N_B = kA_1\sigma_{1y} + A_2\sigma_{2y}, \quad (1)$$

де k – коефіцієнт, що залежить від відношення площ поперечних перерізів сталі труби і стрижня-арматури, а також відношень їх меж текучості. У цих експериментах коефіцієнт становив 1,60 – 1,78; $A_1\sigma_{1y}$ – площа перерізу і межа текучості сталі труби; $A_2\sigma_{2y}$ – площа перерізу і умовна межа текучості високоміцної сталі стрижня-арматури.

Фізичне руйнування дослідних зразків відбувається після втрати несучої здатності матеріалу труби і стрижня-арматури, при досягненні високоміцною сталлю межі міцності.

Фізичне руйнівне зусилля для трубозалізобетонних елементів визначається за формулою

$$N_{\text{руйн}}^{\phi} = A_1\sigma_{1\text{ун}} + A_2\sigma_{2\text{ун}} \quad (2)$$

де $A_1\sigma_{1\text{ун}}$ – площа перерізу і тимчасовий опір сталі труби; $A_2\sigma_{2\text{ун}}$ – площа перерізу і тимчасовий опір стрижня-арматури.

Висновки

Застосування в стрижневих трубчастих системах розтягнутих попередньо напружених трубозалізобетонних елементів у поєднанні із стисненими трубобетонними дають можливість отримати більш досконале конструктивне рішення з кращими економічними показниками:

– оцінка несучої здатності та підбір перерізу розтягнутих звичайних та попередньо напружених трубозалізобетонних елементів пропонується за методикою, поданою у цій роботі;

– в розтягнутих трубозалізобетонних елементах, армованих різними за класом сталлями в поєднанні з високоміцною з м'якою сталлю труби (Ст-3), завдяки підвищенню розрахункового опору сталі труби до межі текучості і надалі за рахунок явища самозміцнення можна одержати підвищення несучої здатності, тобто досягнути економії сталі;

– підвищення несучої здатності трубозалізобетонних елементів залежить від співвідношення площ поперечних перерізів, застосованих класів сталей та їх розрахункових опорів;

– зростання стискаючих попередніх деформацій сталі труби при розтягу трубозалізобетонних елементів і особливості роботи бетону в обоймі сталеві труби позитивно впливають на збільшення деформацій розтягу бетону, яка для дослідних зразків у декілька разів більша за деформації розтягу бетону у звичайних умовах;

– робота бетону в обоймі сталеві труби чинить великий вплив на зменшення величини втрат попереднього напруження в стрижні-арматури внаслідок пружного обтиску, усадження та повзучості бетону. При цьому в попередньо напружених трубозалізобетонних елементах бетон в обоймі при передачі зусилля натягу на бетон-трубу здатний сприйняти більші зусилля при менших втратах попереднього напруження порівняно із сталевими чи залізобетонними, а це значить, що поперечний переріз попереднього напружених елементів буде менший і більш економічний.

1. Передерий Г.П. Трубчатая арматура. – М., 1945. 2. Скворцов Н.Ф. Применение сталетрубобетона в мостостроении. – М., 1955. 3. Andre U. Verbundträger mit betongefüllten. Stahlrohren. – Acier – Stahl – Steel, 1961. – 26. – S. 174. 4. Стороженко Л.И., Семко А.В., Ефименко В.И. Сталезалізобетонные конструкции. – К., 1997. – 157 с. 5. Клименко К. Несуча здатність розтягнутих трубозалізобетонних елементів із звичайною і попередньо напруженою арматурою // Вісн. Львів. державного аграрного університету. – 2001. – № 2. – С. 75–85.

УДК 697.327

М.Д. Климуш, В.Г. Кваша*, І.В. Мельник*
Корпорація “Укравтодор”

* Національний університет “Львівська політехніка”, кафедра БКМ

ВИПРОБУВАННЯ Й ОЦІНКА ЕФЕКТИВНОСТІ ПІДСИЛЕННЯ МОСТОВИХ БАЛОК ЗА ТП ВИП.56 НАКЛЕЮВАННЯМ КОМПОЗИТНИХ МАТЕРІАЛІВ

© Климуш М.Д., Кваша В.Г., Мельник І.В., 2002

Подано методику і результати випробувань натурних мостових балок довжиною 14 м, підсилених синтетичними матеріалами. Показано ефективність підсилення для збільшення надійності і довговічності.

Формулювання завдання. Мета і завдання досліджень

Збірні залізобетонні прогонові будови, зібрані з Т-подібних балок, армованих багаторядовою зварною арматурою, масово застосовували в мостах малих і середніх прогонів з початку 50-х років після розробки ПІ “Союздорпроект” типового проекту вип. 56 (діафрагмові прогонові